

## 中铬铁素体不锈钢 18CrNb 高温氧化行为\*

李鑫<sup>1,2</sup> 刘后龙<sup>1</sup> 毕洪运<sup>2</sup> 陈礼清<sup>1</sup>

1. 东北大学轧制技术及连轧自动化国家重点实验室 沈阳 110819

2. 宝钢集团汽车用钢开发与应用技术国家重点实验室 上海 201900

**摘要** 对中铬铁素体不锈钢 18CrNb 在 700–1000℃ 间不同温度下开展了连续氧化实验, 绘制了该钢种的氧化动力学曲线, 并利用 XRD、SEM 和 EDS 等方法对氧化皮结构进行了分析和表征。结果表明, 18CrNb 铁素体不锈钢在 900℃ 以下可形成连续致密的富 Cr 氧化皮, 使其具备优良的抗氧化性能。当温度提高至 950℃ 以上时, 氧化膜表面的组成由富 Cr 的氧化物向富 Cr 的铬锰氧化物、富 Mn 的锰铬氧化物、铁的氧化物和纯铁的氧化物转变; 内层氧化物由富 Cr 氧化物向富 Fe 的 Fe/Cr 氧化层转变, 这种转变使氧化皮疏松, 从而导致异常氧化, 表明该钢不适合在 950℃ 以上使用。

**关键词** 金属材料, 18CrNb, 铁素体不锈钢, 抗氧化性能, 异常氧化

分类号 TG142

文章编号 1005-3093(2016)04-0263-06

## Oxidation Behavior of 18CrNb Ferritic Stainless Steel at Elevated Temperatures

LI Xin<sup>1,2</sup> LIU Houlong<sup>1</sup> BI Hongyun<sup>2</sup> CHEN Liqing<sup>1\*\*</sup>

1. State Key Laboratory of Rolling and Automation, Northeastern University, Shenyang 110819, China

2. State Key Laboratory of Development and Application Technology of Automotive Steels, Baosteel Group, Shanghai 201900, China

\*Supported by the Research Fund from Science and Technology Commission of Shanghai Municipality No. 15XD1520100.

Manuscript received December 3, 2015; in revised form January 8, 2016.

\*\*To whom correspondence should be addressed, Tel: (024) 83681819, E-mail: lqchen@mail.neu.edu.cn

**ABSTRACT** 18CrNb is a kind of ferritic stainless steel and widely used as parts at the hot end of automobile exhaust system due to its good formability, high temperature strength and oxidation resistance. In this paper, the oxidation of 18CrNb steel in a temperature ranging from 700℃ to 1000℃ was studied through continuous oxidation behavior test. The oxide scale was then characterized by XRD, SEM and EDS, while the oxidation dynamic curve of this steel was plotted based on the weight-gain data after oxidation. The results indicate that 18CrNb steel has excellent oxidation resistance at temperatures lower than 900℃ due to the formation of continuous and dense Cr-rich oxide scale. When the temperature rises up to 950℃, the oxide scale turn to be complex, of which the outer portion composed of Cr-rich Cr-Mn oxide, Mn-rich Mn-Cr oxide, Fe oxide and pure iron oxide; the inner portion composed of Fe-rich Fe/Cr oxide; thereby the scale became loose leading to breakaway oxidation. According to the results of this work, 18CrNb is not suitable for application at temperatures above 950℃.

**KEY WORDS** metallic materials, 18CrNb, ferritic stainless steel, oxidation resistance, breakaway oxidation

传统奥氏体不锈钢, 如 AISI 304 和 AISI 316L 等, 曾被广泛应用于汽车排气系统高温端排气管的制造中。铁素体不锈钢不含镍, 从而降低了合金成本, 同时还具有较低的热膨胀系数、良好的耐高

温氧化性能和抗高温热疲劳性能等优点<sup>[1-3]</sup>, 可大量替代奥氏体不锈钢, 已广泛应用于能源、汽车等工业领域。

作为一种中铬铁素体不锈钢, 18CrNb 铁素体不锈钢具有良好的抗氧化性能和较佳的高温强度。其中, Nb 不仅作为稳定化元素提高材料的耐晶间腐蚀性能, 更重要的是通过析出强化和固溶强化共同提高材料的高温强度和抗高温蠕变性能<sup>[4, 5]</sup>。有研究<sup>[6, 7]</sup>表

\* 上海市科委科研基金 15XD1520100 资助项目。

2015 年 12 月 3 日收到初稿; 2016 年 1 月 8 日收到修改稿。

本文联系人: 陈礼清, 教授

DOI: 10.11901/1005.3093.2015.694

明, Nb 的添加对抗氧化性能也有一定的促进作用, 这样设计的合金体系具备非常好的高温强度以及抗氧化性能, 目前已成为耐热不锈钢的首选材料。因而, 对其在各种使用环境下抗氧化性能的研究成为国内外学者关注的焦点<sup>[8,9]</sup>。

有关 18CrNb 铁素体不锈钢高温抗氧化性能的评价和研究目前主要集中在 850℃ 以下的使用环境, 很少涉及 900℃ 以上的温度范围。Badin 等<sup>[10]</sup>就 18CrNb 和 316L 不锈钢在 1100℃ 下的短期抗氧化性能开展了对比研究, 结果表明: 在 20 min 以内连续氧化测试过程中, 18CrNb 不锈钢的氧化层很薄且致密, 而 316L 不锈钢则明显表现出异常氧化特征。然而, 在实际使用过程中, 尤其是在汽车排气系统领域, 其高温端零部件长时间暴露于高温环境中, 其氧化行为及机理有别于短时氧化行为, 目前鲜有这方面的研究报道, 尤其缺乏针对该钢种在 900℃ 以上的抗氧化性能的研究。本文采用恒温氧化试验, 研究 18CrNb 铁素体不锈钢在 700–1000℃ 长时间下的氧化行为, 并对氧化皮结构及形成机理进行分析。

## 1 实验方法

实验材料为 1.5 mm 厚 18CrNb 铁素体不锈钢商业成品板, 其化学成分见表 1, 高温氧化实验试样系采用线切割法截取的 25 mm×20 mm 矩形样。首先, 用水磨砂纸将试样表面研磨至 1200#, 用乙醇超声波清洗后烘干; 再利用千分尺测量试样尺寸并计算其表面积; 为了避免实验过程中由于氧化皮剥落对氧化增重的影响, 本实验测量氧化前和氧化后的质量数据均为坩埚和试样的总质量。在高温氧化实验前, 需将坩埚在 1100℃ 下焙烧 20 h 去除水分以保证高温氧化过程中其自重无变化。

将试样置于恒重的氧化铝坩埚内, 再连同坩埚一起放入高温电阻加热炉中。为研究不同连续氧化温度对测试钢种的高温氧化行为的影响, 温度分别定为 700℃、800℃、900℃、950℃ 和 1000℃。在 700℃、800℃、900℃ 时的最长氧化时间为 300 h, 在实验的前 20 h 内取样间隔为 3–5 h, 氧化进行 20 h 以后取样间隔为 20 h。而在 950℃ 和 1000℃ 时的最长氧化时间均为 100 h。当加热炉加热到目标温度后, 取样间隔为 5 h, 置于干燥皿中冷却至室温, 将试样连同坩埚一起测量重量变化, 称重在精度为 10 μg

的 METTLER TOLEDO XS205 型电子天平上测量, 并绘制其氧化动力学曲线。

在 PANalytical X'pert PRO MPD 型 X 射线衍射仪(XRD)上分析氧化膜的组成,  $\text{CoK}\alpha$ ,  $\lambda = 0.179 \text{ nm}$ ,  $2\theta = 20^\circ - 110^\circ$ , 步长为  $0.02^\circ$ 。采用 Quanta 400 扫描电镜(SEM)观察氧化膜表面形貌, 电压为 20 kV, 氧化膜化学成分采用扫描电镜自带的能谱仪分析。

## 2 结果和讨论

### 2.1 氧化动力学

图 1 是 18CrNb 铁素体不锈钢在温度为 700℃–1000℃ 的空气中连续氧化动力学曲线。由图可见, 18CrNb 铁素体不锈钢的氧化增重随着温度的升高而增加, 氧化动力学曲线基本符合抛物线规律。在温度为 700–950℃ 范围内, 该钢没有发生快速氧化的现象; 但是在 1000℃ 时, 18CrNb 铁素体不锈钢快速氧化, 在前 15 h 的氧化过程中氧化呈直线规律, 后 85 h 呈近抛物线规律; 连续氧化 100 h 后, 其氧化增重达到了  $23.08 \text{ mg} \cdot \text{cm}^{-2}$ , 是 950℃ 下氧化增重  $1.358 \text{ mg} \cdot \text{cm}^{-2}$  的近 17 倍。由此可见, 18CrNb 铁素体不锈钢在 950℃ 及其以下温度具有良好的抗氧化性能, 在 1000℃ 时会发生快速氧化, 氧化增重明显。

当金属材料的高温氧化动力学符合抛物线型规律时, 其动力学可用  $\Delta m^n = k_p t$  及  $k_p = k_0 \exp(-Q/RT)$  表示<sup>[11,12]</sup>。该式中,  $\Delta m$  为单位面积氧化增重( $\text{mg} \cdot \text{cm}^{-2}$ ),  $n$  为氧化指数,  $t$  为氧化时间(h),  $k_p$  为氧化速率常数,  $k_0$  为常数,  $Q$  为氧化激活能( $\text{kJ} \cdot \text{mol}^{-1}$ ),  $T$  为氧化温度(K),  $R$  为气体常数, 即  $8.314 \text{ J} \cdot \text{mol}^{-1} \cdot \text{K}^{-1}$ 。利用该式对氧化动力学符合抛物线规律的 700–1000℃ 温度区间的实验结果进行回归分析, 可求出不同温度下的  $n$ ,  $k_p$  及  $Q$ , 结果见表 2。可以看出, 18CrNb 不锈钢在 950℃ 及以下温度  $k_p$  值都很小, 而在 1000℃  $k_p$  为  $5.3 \cdot 10^{-10} \text{ g}^2 \cdot \text{cm}^{-4} \cdot \text{s}^{-1}$ ; 对于氧化激活能  $Q$  而言, 18CrNb 不锈钢在 950℃ 以下温度  $Q$  值均保持在均值  $238 \text{ kJ} \cdot \text{mol}^{-1}$ , 而在 1000℃ 时  $Q$  值下降到  $200 \text{ kJ} \cdot \text{mol}^{-1}$ , 同时也加速了氧化。

### 2.2 氧化膜组成及形貌分析

图 2 是 18CrNb 不锈钢在 700℃–950℃ 不同温度下连续氧化 100 和 300 h 后表面氧化产物组成的 XRD 谱。18CrNb 不锈钢在 700℃ 下连续氧化 300 h 后表面几乎无氧化膜产生; 在 800℃ 和 900℃ 下连续

表 1 18CrNb 钢的化学成分

Table 1 Chemical Composition of 18CrNb ferritic stainless steel (% , mass fraction)

C	Si	Mn	P	S	Cr	Nb	Ti	N	Fe
0.009	0.47	0.27	0.025	0.002	17.81	0.463	0.17	0.0085	Bal.

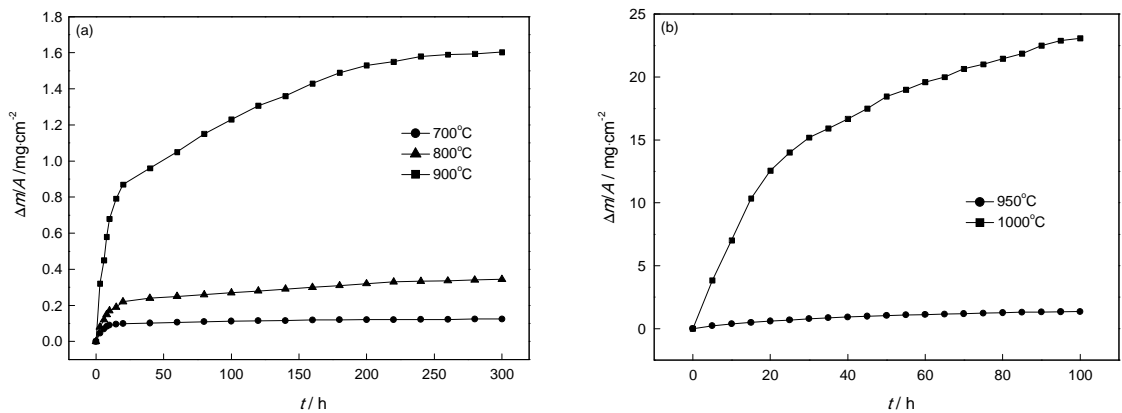


图1 18CrNb铁素体不锈钢在不同温度下氧化动力学曲线

Fig.1 Oxidation kinetic curves of ferritic stainless steel 18CrNb oxidized at different temperatures, (a) 700–900°C, (b) 950–1000°C

表2 试验用钢在 700–1000°C 的  $k_p$  值、 $n$  值和氧化激活能  $Q$  值

Table 2 Values of  $k_p$ ,  $n$ , and  $Q$  of stainless steel 18CrNb at different temperatures

$T/^\circ\text{C}$	$k_p/\text{g}^2\cdot\text{cm}^{-4}\cdot\text{s}^{-1}$	$n$	$Q/(\text{kJ/mol})$
700	$1.4\times 10^{-14}$	2.25	237
800	$1.1\times 10^{-13}$	2.18	242
900	$2.4\times 10^{-12}$	2.24	235
950	$5.1\times 10^{-12}$	2.19	237
1000	$5.3\times 10^{-10}$	2.27	200

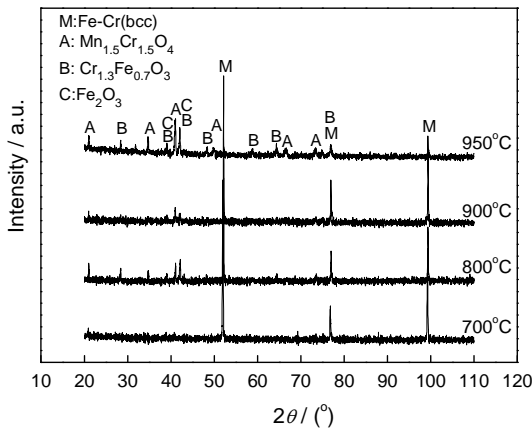


图2 18CrNb 不锈钢在不同温度下表面氧化皮结构的 XRD 谱

Fig.2 XRD spectra of oxidation products on the stainless steel 18CrNb oxidized at different temperatures

氧化 300 h 后表面氧化膜主要为锰铬的氧化物和富铬的氧化物, 其主要成分为  $\text{Mn}_{1.5}\text{Cr}_{1.5}\text{O}_4$  和  $\text{Cr}_{1.3}\text{Fe}_{0.7}\text{O}_3$ ; 而 18CrNb 不锈钢在 950°C 下连续氧化 100 h 后, 表面氧化膜除含锰铬的氧化物  $\text{Mn}_{1.5}\text{Cr}_{1.5}\text{O}_4$  和富铬的氧化物  $\text{Cr}_{1.3}\text{Fe}_{0.7}\text{O}_3$  外, 还有  $\text{Fe}_2\text{O}_3$  氧化物生成。也就是说, 18CrNb 不锈钢在 700°C–900°C 下连续氧化后表面氧化膜都有一定的保护作用, 氧化速率较低; 而在

950°C 及以上温度连续氧化时, 氧化膜表面会有大量 Fe 的氧化物生成, 氧化开始加重, 1000°C 下连续氧化 100 h 后试样已经出现严重的异常氧化(分离氧化), 表面形成瘤状氧化物, 并伴随氧化皮脱落(未进行 XRD 分析)。从已有分析结果<sup>[1]</sup>可以看出, 只有形成富 Cr 的氧化膜, 才具有比较好的保护性, 从而阻止氧化的进一步进行; 随着连续氧化温度的升高, 18CrNb 不锈钢的氧化加剧。

图 3 为 18CrNb 在连续氧化温度为 700°C、800°C 和 900°C 时的氧化皮截面及表面形貌。可以看出, 在 900°C 以下, 18CrNb 不锈钢的氧化皮生长极其缓慢, 在 700°C 氧化 300 h 后几乎观察不到氧化皮; 而随着氧化温度的升高, 氧化皮厚度有所增加。从图中还可以看出, 在 800°C 连续氧化 300 h 后氧化膜的厚度很薄, 约为 2  $\mu\text{m}$ , 在 900°C 连续氧化 300 h 后氧化膜的厚度增至 8  $\mu\text{m}$ 。能谱分析表明, 18CrNb 不锈钢在 800°C 和 900°C 连续氧化 300 h 后氧化膜的组成是类似的, 即外层为富铬锰的氧化物, 而内层为富铬的氧化物, 这与 Grolig<sup>[13]</sup>的研究中所观察到的现象一致。从试样表面形貌也可看出, 3 组试样均未出现剥落情况, 且氧化温度越低, 氧化膜就越细小致密。当氧化温度达 900°C 时, 在试样表面能够观察到一些尺寸相对较大的突起或瘤状氧化物, 能谱分析显示其组成为富 Cr 的铬锰氧化物。有研究结果表明<sup>[9]</sup>, 18CrNb 不锈钢在氧化的最初期就会形成 Mn–Cr 尖晶石, 且会随着氧化温度的提升而聚集长大, 这种聚集会降低氧化皮对基体的保护效应, 从而使抗氧化性能恶化。

图 4a 和 b 分别为 18CrNb 不锈钢在 950°C 连续氧化 100 h 后的氧化膜截面形貌。显然, 不锈钢表面已不能形成具有一定保护性的富铬氧化膜, 而是形成一定厚度的铁的氧化物, 氧化物外层是纯 Fe 的氧化



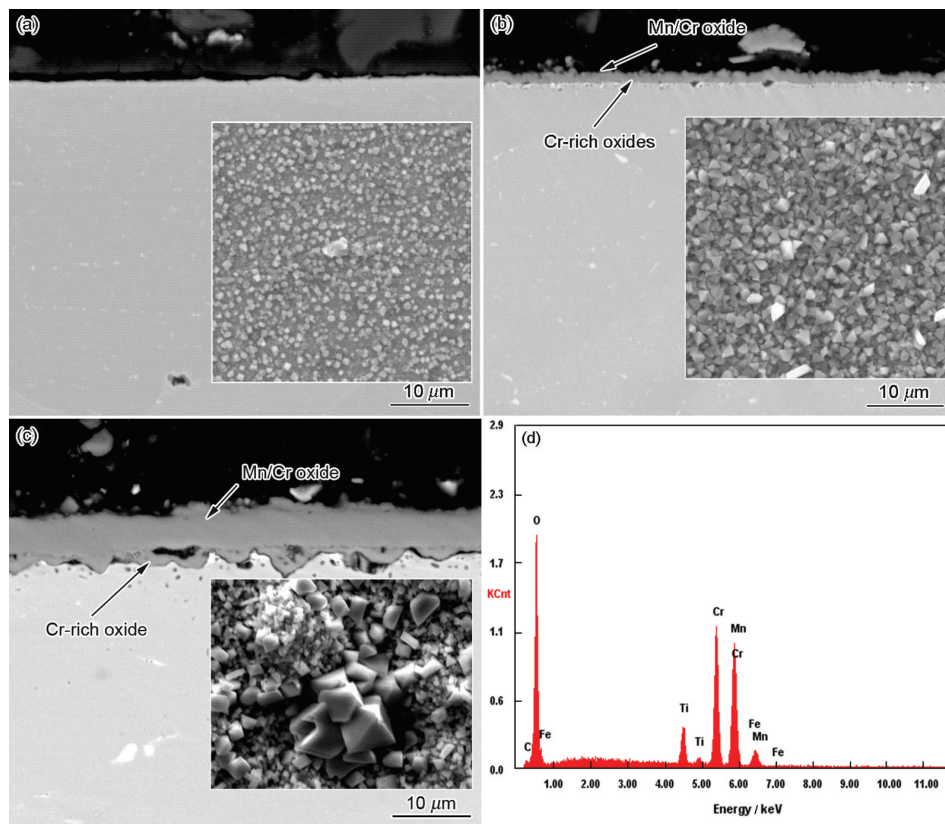


图3 18CrNb 不锈钢在不同温度下连续氧化的截面与表面(插图)形貌及其EDS分析

**Fig.3** SEM images of the cross section and surface (inset) of oxide layers in 18CrNb stainless steel oxidized at 700°C (a), 800°C (b), 900°C (c) and EDS analysis of nodular oxide in Fig.3c (inset) (d)

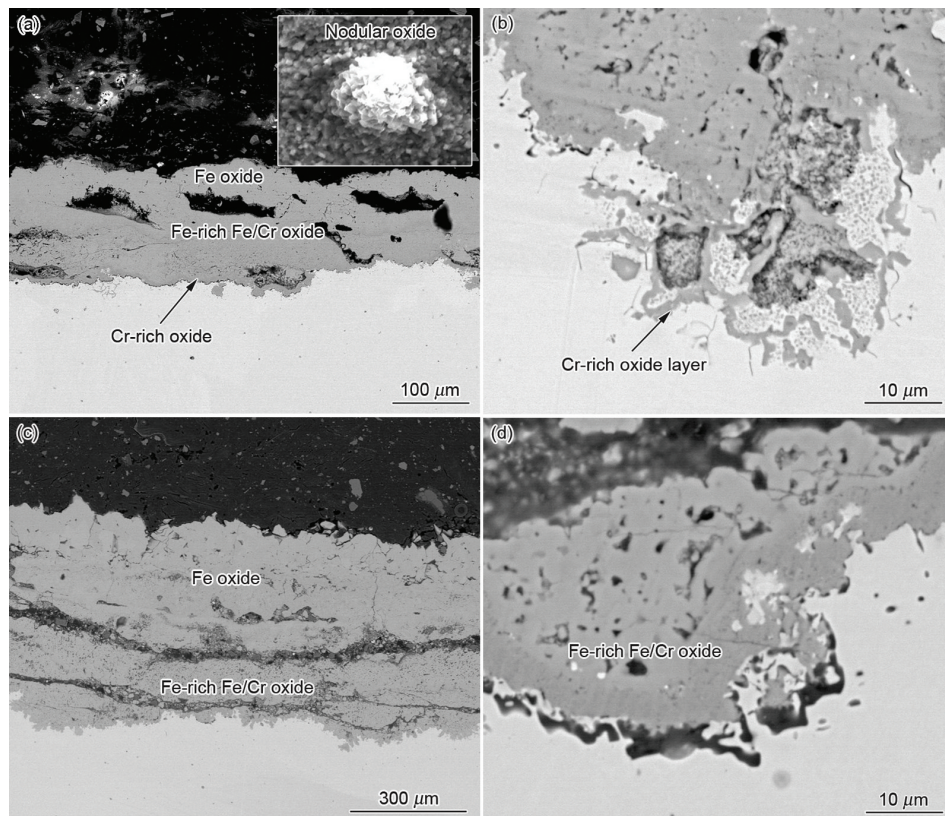


图4 18CrNb 不锈钢在 950°C 和 1000°C 下连续氧化 100 h 的氧化皮截面形貌

**Fig.4** Cross-sectional morphologies of the oxide layers in 18CrNb oxidized at different temperatures (a, b) 950°C, cross-section and oxide nearby the substrate; (c, d) 1000°C, cross-section and oxide nearby the substrate

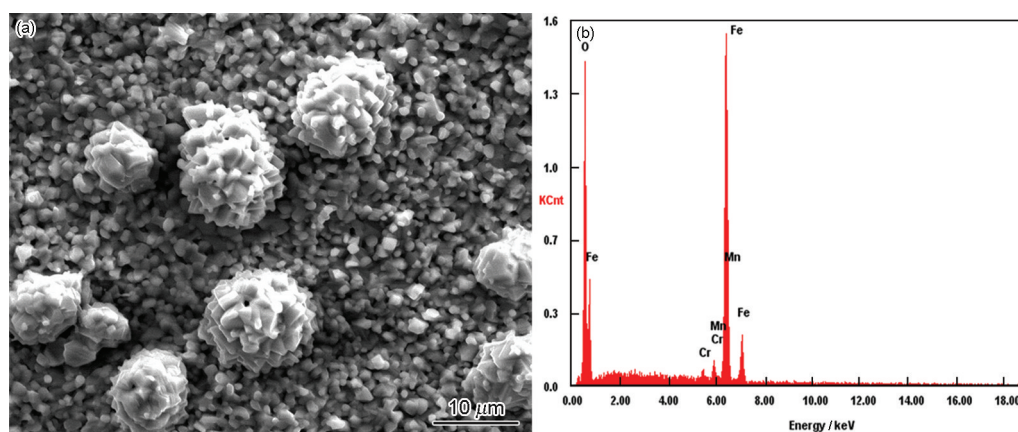


图5 18CrNb铁素体不锈钢在1000℃氧化100 h后表面瘤状氧化物及其能谱分析

Fig.5 SEM image (a) and EDS analysis (b) of the tuberculate oxide in 18CrNb stainless steel oxidized at 1000℃ for 100 h

物,其下是一层富铁的铁铬混合氧化层,沿不锈钢基体是以铬为主的内氧化区。图4c和d为18CrNb不锈钢在1000℃连续氧化100 h后的氧化膜截面形貌,很显然,不锈钢表面已形成很厚的铁的氧化物,氧化物的外层是纯Fe的氧化物,其下是富铁的铁铬混合氧化层。与950℃下连续氧化的试样不同之处是,沿不锈钢基体处以铬为主的内氧化区完全消失,只能观察到富Fe的Fe/Cr氧化物。对于不锈钢,由于选择性氧化效应,Cr的优先氧化可形成连续致密的富Cr氧化层,从而阻止O离子的扩散,阻止氧化进一步进行。然而,本实验结果表明,当氧化温度很高时,18CrNb表面已无法形成致密的具有保护性的富Cr氧化皮,而富Fe的氧化层相对比较疏松,Fe、O、Cr和Mn元素的离子扩散通道畅通,从而使氧化皮在1000℃的氧化条件下不具备保护能力。氧化增重曲线也体现出了这一趋势,在该温度下连续氧化100 h后氧化增重达到了23.08 mg/cm<sup>2</sup>,是950℃下氧化增重的近17倍。图5为在该试样表面上观察到的瘤状氧化物,能谱分析表明其为Fe的氧化物,Cr的含量极低,这种瘤状氧化物的产生表明在1000℃下已经开始发生异常氧化。

综上所述,随着连续氧化温度的升高,氧化膜的厚度增加,且在氧化初期的氧化速率显著提高。在长时间连续氧化后,随着温度的升高,氧化膜表面的组成由富Cr的氧化物向富铬的铬锰氧化物、富锰的锰铬氧化物、铁的氧化物和纯铁的氧化物转变;内层氧化物由富Cr的氧化物向富铁的Fe/Cr氧化层转变,这种转变会破坏氧化皮的致密性,导致氧化进一步进行。结合氧化动力学分析可以得知,18CrNb不锈钢在900℃以下具备非常优异的抗氧化性能,在950℃时具备一定的抗氧化性能,但是已经出现了瘤状氧

化物,见图4(a),这说明在该条件下如果氧化时间足够长,依旧具备发生异常氧化的风险。当氧化温度提高至1000℃时,18CrNb抗氧化性能显著恶化。

### 3 结 论

1. 18CrNb铁素体不锈钢在900℃以下具备优良的抗氧化性能,当环境温度达到950℃时氧化增重明显,且有瘤状氧化物产生;在1000℃下抗氧化性能显著恶化。

2. 在700–1000℃范围内,随着温度的升高,氧化膜表面组成由富Cr的氧化物向富Cr的铬锰氧化物、富Mn的锰铬氧化物、铁的氧化物和纯铁的氧化物转变;内层氧化物由富Cr的氧化物向富Fe的Fe/Cr氧化层转变,这种转变使氧化皮疏松,导致抗氧化性能降低。

3. 18CrNb铁素体不锈钢不适合应用于950℃以上的高温氧化环境。

### 参 考 文 献

- 1 X. Li, J. Shu, L. Q. Chen, H. Y. Bi, Effect of cerium on high-temperature oxidation resistance of 00Cr17NbTi ferritic stainless steel, *Acta Metallurgica Sinica (English Letters)*, **27**(3), 501(2014)
- 2 T. L. Liu, L. J. Chen, H. Y. Bi, X. Che, Effect of Mo on high-temperature fatigue behavior of 15CrNbTi ferritic stainless steel, *Acta Metallurgica Sinica (English Letters)*, **27**(3), 452(2014)
- 3 Y. Inoue, M. Kikuchi, Present and future trends of stainless steel for automotive exhaust system, *Nippon Steel Technical Report*, (88), 62 (2003)
- 4 Y. T. Chiu, C. K. Lin, Effects of Nb and W additions on high-temperature creep properties of ferritic stainless steel for solid oxide fuel cell interconnect, *Journal of Power Sources*, **198**(1), 149(2012)
- 5 N. Fujita, K. Ohmura, A. Yamamoto, Changes of microstructures and high temperature properties during high temperature service of Niobium added ferritic stainless steels, *Materials Science and Engineering A*, **351**(1-2), 272 (2003)



- 6 H. S. Seo, D. W. Yun, K. Y. Kim, Oxidation behavior of ferritic stainless steel containing Nb, Nb-Si and Nb-Ti for SOFC interconnect, *International Journal of Hydrogen Energy*, **38**(5), 2432(2013)
- 7 H. Ali-löyty, P. Jussila, M. Valden, Optimization of the electrical properties of Ti-Nb stabilized ferritic stainless steel SOFC interconnect alloy upon high-temperature oxidation: the role of excess Nb on the interfacial oxidation at the oxide-metal interface, *International Journal of Hydrogen Energy*, **38**(2), 1039(2013)
- 8 J. Rufner, P. Gannon, P. White, M. Deibert, S. Teintze, R. Smith, H. Chen, Oxidation behavior of stainless steel 430 and 441 at 800°C in single (air/air) and dual atmosphere (air/hydrogen) exposures, *International Journal of Hydrogen Energy*, **33**(4), 1392(2008)
- 9 Z. Y. Chen, L. J. Wang, F. S. Li, K. C. Chou, Z. H. Sun, The effects of temperature and oxygen pressure on the initial oxidation of stainless 441, *International Journal of Hydrogen Energy*, **39**(19), 10303 (2014)
- 10 V. Badin, E. Diamanti, P. Forêt, E. Darque-Ceretti, Water vapor oxidation of ferritic 441 and austenitic 316L stainless steel at 1000°C for short duration, *Procedia Materials Science*, **9**, 48(2015)
- 11 Yulai Xu, Xin Zhang, Lijun Fand, Jun Li, Xiaojiang Yu, Xueshan Xiao, Laizhu Jiang, Improved oxidation resistance of 15 wt.% Cr ferritic stainless steels containing 0.08-2.45 wt.% Al at 1000°C in air, *Corrosion Science*, **100**, 311(2015)
- 12 C. H. Xu, W. Gao, H. Gong, Oxidation behaviour of FeAl intermetallics. The effects of Y and/or Zr on isothermal oxidation kinetics, *Intermetallics*, **8**, 769(2000)
- 13 J. G. Grolig, J. Froitzheim, J.-E. Svensson, Coated stainless steel 441 as interconnect material for solid oxide fuel cells: Oxidation performance and chromium evaporation, *Journal of Power Sources*, **248**, 1007(2014)